

1982. Cena litých desek je přibližně 25 Kč/kg, dovážených asi 36,50 dev. korun/kg.

PP: Polypropylén se vyrábí v dostatečném množství v tuzemsku (asi 160 tis. t/rok) v závodech ve Slovnaftu Bratislava a v Chemických závodech ČSSP v Litvínově. Cena tuzemského PP v granulích 9 až 12 Kč/kg.

PPO: Jde o perspektivní hmotu, u nás zatím nevyráběnou. Na výrobu se používá kvantitativně i cenově příznivá výchozí surovina - xylenol. Je rozměrově stálý, odolný do teploty 105 °C, má vyšší odolnost proti stárnutí a oděru, je samozhášivý.

Při výrobě 50 000 bytových jader za rok je celková spotřeba hmot 2550 až 4000 tun. Vzhledem k možnosti výměny relativně velkých dílců lze výhledově předpokládat získání starého materiálu z 80 %, tj. 2040 až 3200 t/rok.

Ekonomické posouzení	
Informativní výrobní cena stěnového umyvadlového dílce (obr. 5)	
1 - Základní materiál PMMA	345 Kčs
zkušující nástřik PESL	15
kovové doplňky aj.	15
	375
2 - mzdy	35
3 - odpisy strojů vč. nástřiku	6
4 - odpisy forem	2
5 - opravy strojů	4
6 - ostatní výrobní režie	15
7 - správní režie (100% z mezd)	35
8 - zisk (25 % z položek 2 až 7)	24
VC =	496 Kčs

V ceně výrobku (Kčs) je obsažena:

- cena hmoty získaná návratností 100
- cena sanitárního předmětu (umyvadlo) 140
- skříňka a doplňkové předměty 110

Závěr

Uvedli jsme konstrukční návrh a požadavky, ovlivňující výrobu bytových jader z plastů. Realizace zavedení národního hospodářství, především do rozvoje materiálů i zpracovatelských technologií plastů. Přes nepříznivou situaci v těžbě ropy a ostatních fosilních paliv je vhodnější tuto surovinu zpracovávat na plasty, ve kterých se nadále uchovává látková podstata suroviny, nežli ji nenevratně spotřebovat jako tepelnou energii.

LITERATURA

- [1] Janů, K. a kol.: Studie poloskříňového sanitárního systému pro n. p. Kovona Karviná, 1967
 - [2] Jíra, J.: Technologie průmyslové výroby staveb; Doktorská disertační práce, 1981
- 696.123.31
678.01

Orientační ověření funkčních vlastností radiačního pláště automatické telekomunikační ústředny

Podle požadavku projektových organizací Spojprojekt a Uniprojekt prováděl kolektiv katedry konstrukcí pozemních staveb tepelně technický a funkční rozbor radiačního pláště, realizovaného na objektu Automatické telefonní ústředny (ATÚ) v Praze Dejvicích, obr. 1 a 2. Posuzovaný obvodový plášť byl navržen v roce 1977 Ing. arch. Eisenreichem ve spolupráci se závody stavební prefabrikace Boletice nad Labem (Ing. Reiniger). Experimentální a teoretické ověřování radiačního pláště probíhalo od ledna do srpna 1981.

Popis radiačního pláště

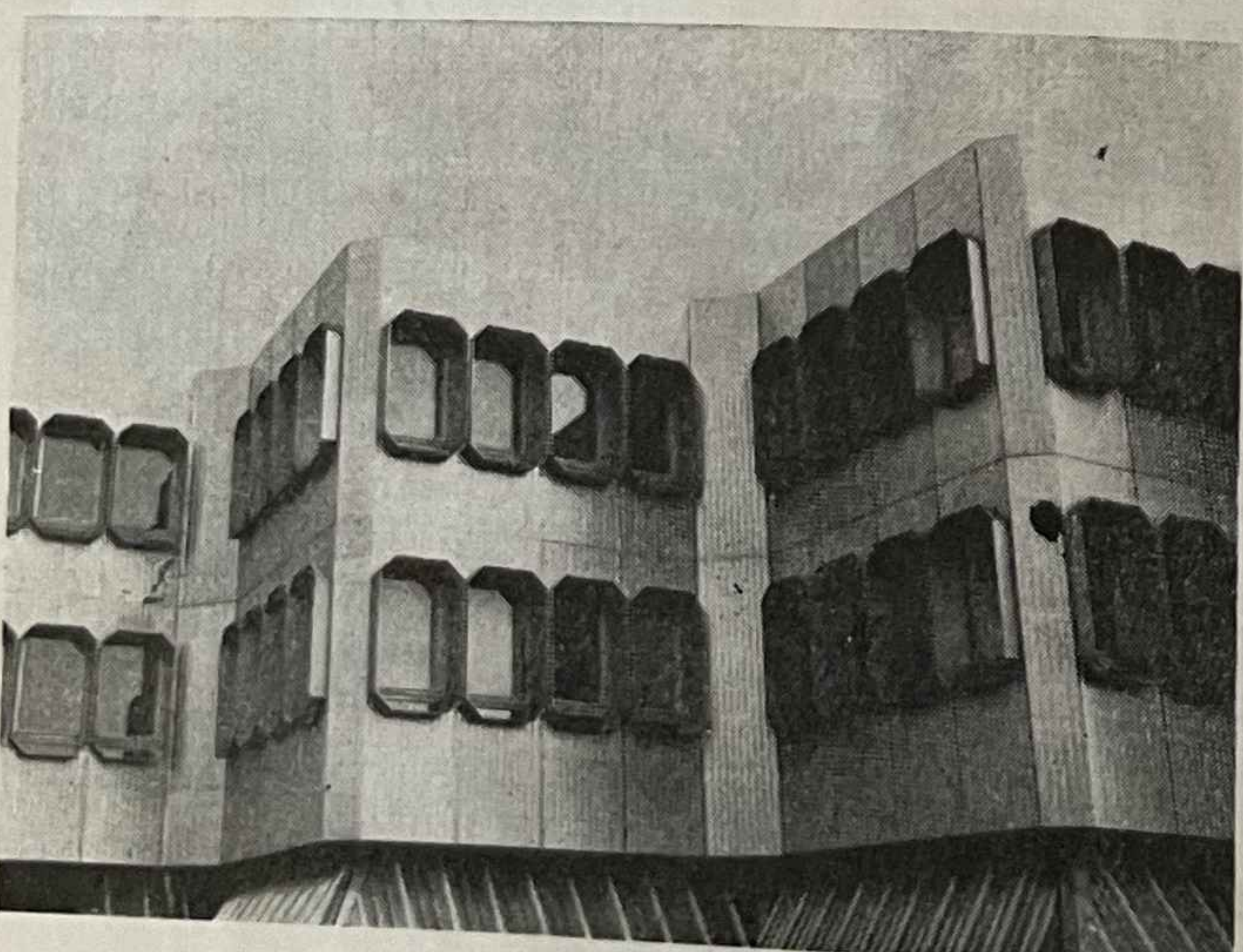
Radiační plášť je vytvořen ze standardního lehkého obvodového pláště ZSP Boletice typ OD-001 s tepelnou izolací z minerální plsti v tloušťce 9 cm a z radiační clony

předsazené 30 cm před vnější líc lehkého obvodového pláště. Uzavření vzduchové mezery mezi vlastním pláštěm a radiační clonou má být pro zimní období zajištěno přišroubováním plechového krytu na pevně

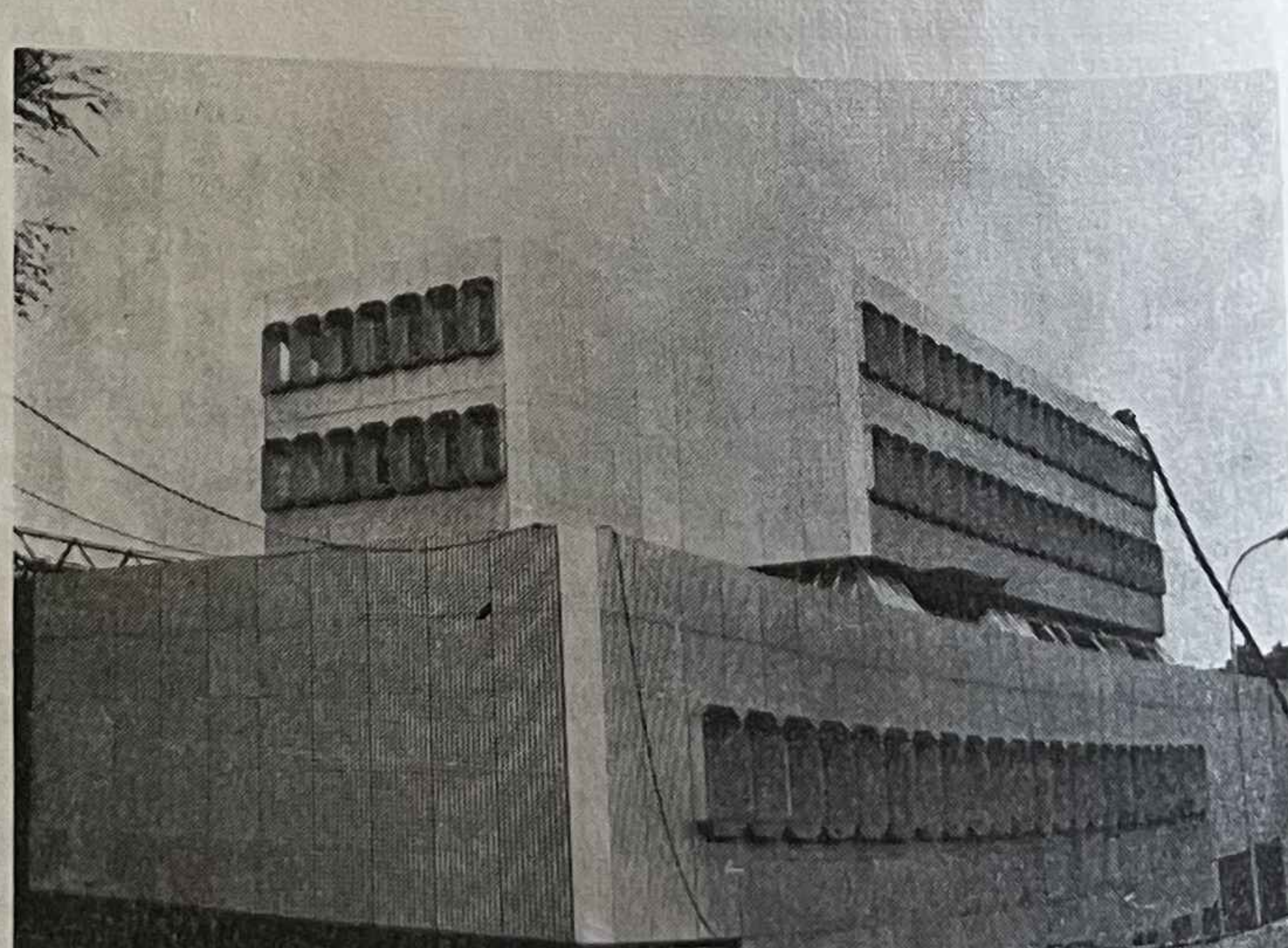
uchycenou ochrannou mřížkou při horním vyústění mezery. V otopném období má být vzduchová mezera uzavřena, aby zvyšovala tepelný odpor pláště, a v letním období má být naopak otevřena, aby proudění vzduchu přispívalo k ochlazování objektu.

Radiační clona je sestavena z panelů z profilovaného hliníkového plechu o tloušťce 1 mm a je připevněna na nosnou konstrukci lehkého

Obr. 1. Budova Automatické telefonní ústředny v Praze - Dejvicích, opatřená radiačním pláštěm a stínícími prstenci, jižní a západní fasáda



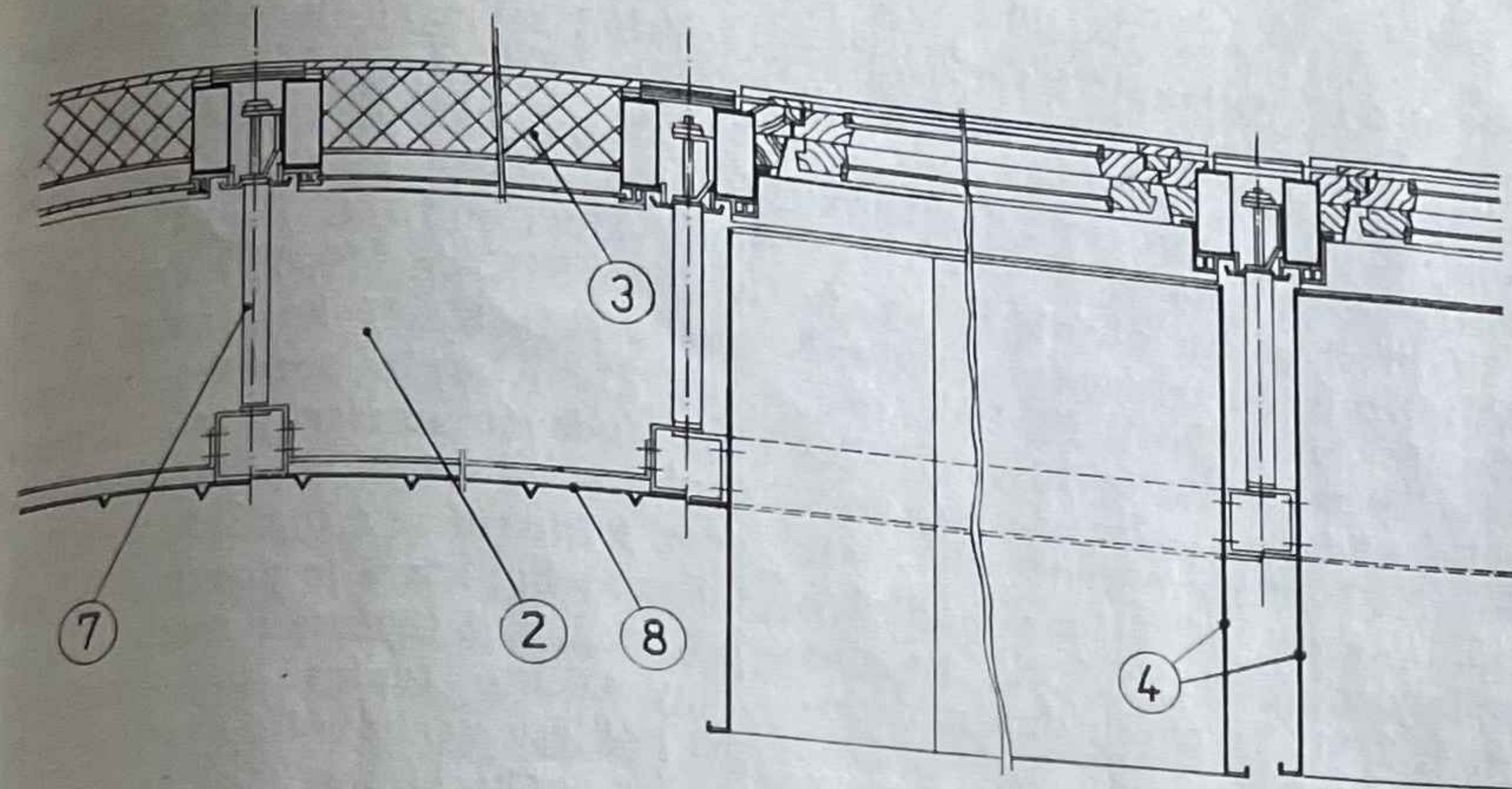
Obr. 2. ATÚ - východní fasáda



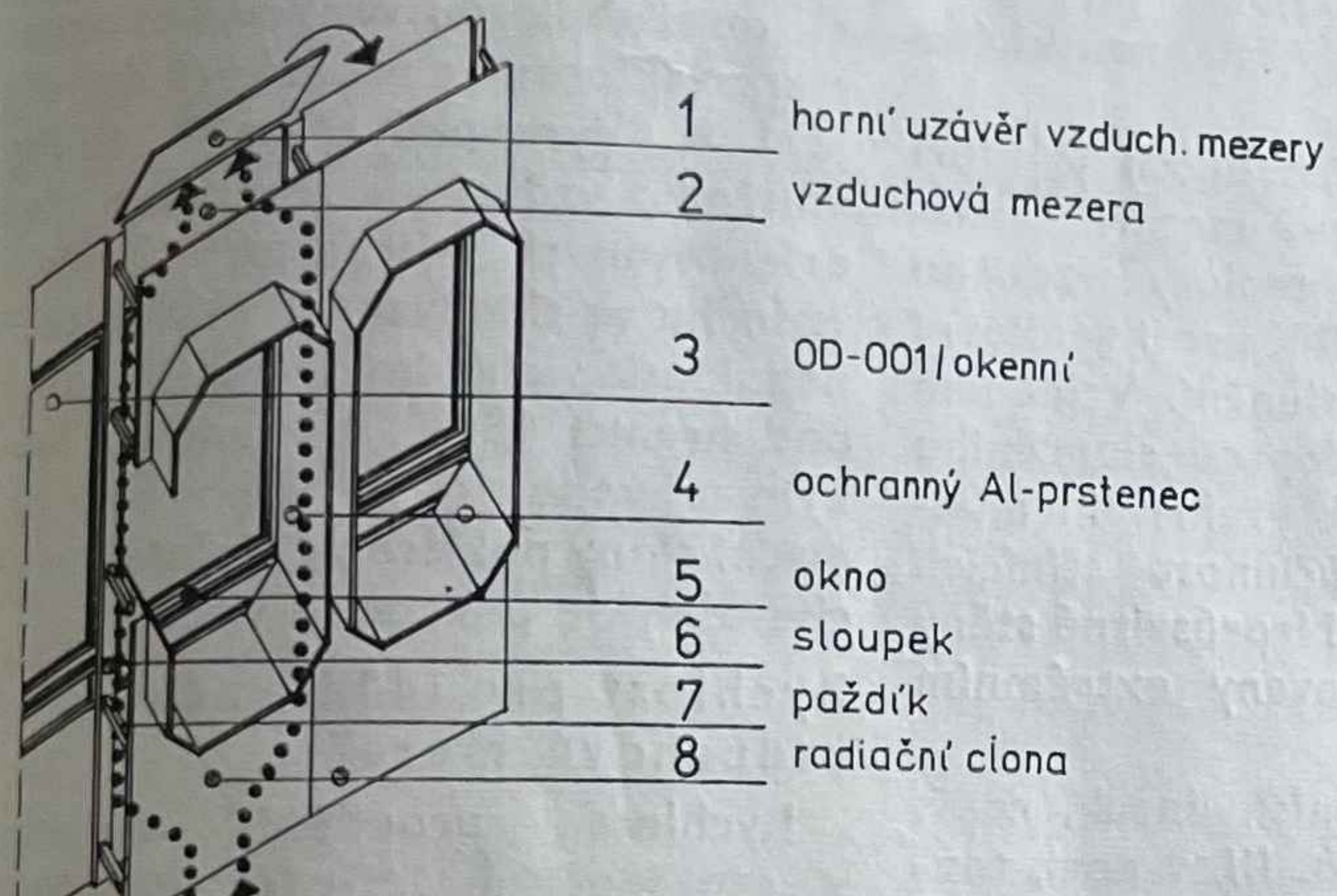
konstrukční návrh
říjící výrobu by-
stů. Realizace za-
nestavebních od-
ospodářství, pře-
materiálů i zpra-
logií plastů. Přes
v těžbě ropy a
paliv je vhodnější
ovávat na plasty,
e uchovává látko-
y, nežli ji nená-
jako tepelnou

die poloskříňového
pro n. p. Kovona
průmyslové výroby
ertační práce, 1981

Eva KALIBOVÁ
LOUDEK, CSc.
Fakulta stavební
Praha



Obr. 3. Radiační pláště s ochrannými prstenci
a) vodorovný řez obvodovým pláštěm v úrovni okna
Vysvětlivky k obr. 3a, b:
1 - horní uzávěr vzduchové mezery, 2 - vzduchová mezera, 3 - obvodový pláště
OD-001, 4 - ochranný hliníkový prstenec, 5 - okno dřevěné, zdvojené, 6 - ochranná mřížka, 7 - vodorovný ocelový paždík, 8 - radiační clona



Obr. 4. Princip funkce radiačního pláště při otevřené vzduchové mezeře

obvodového pláště. Povrch clony směřující do vzduchové mezery je opatřen černým nátěrem pro snížení hlučnosti a zvýšení tepelné pohltivosti. Tato úprava má pozitivní vliv hlavně v letním období, kdy vnější povrch clony snižuje tepelnou zátěž objektu díky své reflexní schopnosti. Vnitřní povrch předává konvekcí absorbované teplo vzduchu, proudícímu samotně v mezere a ochlazujícímu lehký obvodový pláště.

Po celém obvodu okna odděluje vzduchovou mezitu a okenní prostor stínící prstenec z hliníkového plechu. Jeho celková hloubka je 50 cm, z toho 22,5 cm vystupuje před radiační clonu, viz obr. 3 a 4.

Cíl a způsob sledování

Obvodová konstrukce byla ověřována vzhledem

a) k vlivu radiační clony s uzavřenou vzduchovou mezitu na zlepšení tepelného odporu obvodového

pláště, a tedy na snížení spotřeby tepla v zimním období,

b) k vlivu radiační clony s otevřenou vzduchovou mezitu a navržených slunolamů na snížení tepelné zátěže, a tedy na zlepšení mikroklimatu v letním období.

Měření probíhalo s okny bez žaluzií, aby byl specifikován vliv ochranných prstenců, zatímco výpočty byly provedeny pro komplexní ochranu oken.

V průběhu osmi měsíců byly zaznamenány pomocí termohygrografů Metra 852 teploty a vlhkostí vnitřního vzduchu a vzduchu uvnitř dvou sledovaných místností v nejvyšším podlaží. Po stejnou dobu byly šesti odporovými teploměry Pt 100°C, napojenými na zapisovač Zepakord, snímány tyto teploty:

- 1 - vnitřního vzduchu v jižně orientované místnosti,
- 2 - vnitřního vzduchu v západně orientované místnosti,

3 - vnitřního povrchu jižně orientované obvodové konstrukce,

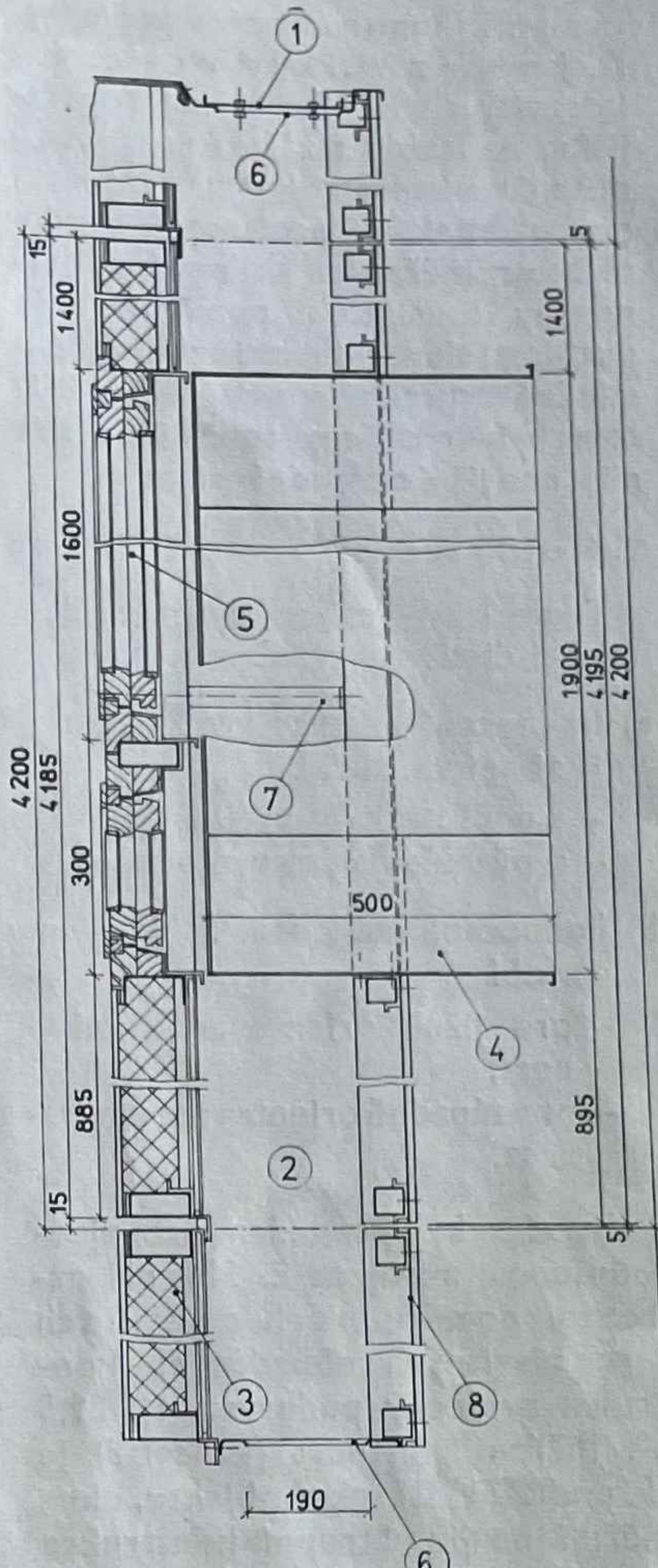
4 - venkovního vzduchu,

5 - vzduchu ve vzduchové mezitu jižně orientovaného radiačního pláště při horním vyústění,

6 - vzduchu ve vzduchové mezitu též stěny při dolním vyústění mezity, (vertikální vzdálenost čidel 5 a 6 byla 6,5 m).

V době od 30. 4. do 8. 5. 1981 byla měřena rychlosť proudění vzduchu v otevřené vzduchové mezitu radiačního pláště pomocí žárového anemometru a sledován vliv uzavření a otevření mezity na změnu teplot vzduchu a proudění v mezitu. Zároveň proběhlo měření směru a rychlosti větru pomocí elektrické směrovky a miskového anemometru, napojených na registrační přístroj Vareg - 2.

V měsících červenec a srpen byly pomocí čtyř svisle umístěných pyra-



Obr. 3b) Svislý řez

1982
radiaci

nometrů (konstruovaných podle Ing. A. Janouše z VÚPS Praha) určovány intenzity slunečního záření dopadajícího na fasádu a záření propouštěného do místnosti oknem chráněným pouze stínícím prstencem. Podle těchto naměřených hodnot byly stanoveny součinitele poměrné propustnosti slunečního záření pro okno stíněné ochranným prstencem. Přitom byly rozlišeny součinitele stínení pro jižní a západní orientaci.

Teoretický rozbor

Teoretický rozbor byl rozdělen na dvě části:

- a) hodnocení místnosti vzhledem k zimnímu období
 - s nepřetržitým vytápěním,
 - s přerušovaným vytápěním.
- b) hodnocení vzhledem k letnímu období
 - pro jižně orientovanou místnost,
 - pro západně orientovanou místnost.

Výpočet byl proveden pro zjednodušenou místnost č. 531 při zachování poměru ploch průsvitních a neprůsvitních obvodových konstrukcí a plochy půdorysu, tj. 31,5 m². Měřená místnost (kancelář) je v 5. podlaží vyšší sekce objektu, okna směřují na jih. Stropní konstrukce vytváří zároveň nosnou konstrukci ploché jednopláštové střechy.

Všechna hodnocení byla provedena podle ČSN 73 0549 [4] a vyhodnocena podle ČSN 73 0540 [1]. Pro výpočet bylo užito programu [6], který vychází z ČSN 73 0549 [4] a je sestaven v jazyce Fortran pro počítač EC 1032.

Výsledky měření

Teplota vzduchu ve sledovaných místnostech a ve vzduchové mezeře

Provoz vytápění byl po většinu zimního období nepřerušovaný, i když jde o občanskou budovu, ve které přes noc nepobývají lidé. Teplota vzduchu byla většinou vyšší než 20 °C. Při oslunění stoupala až k horní hranici povolené pro letní období, tj. 27 °C.

V uzavřené vzduchové mezeře je teplota vzduchu v noci a období bez oslunění o 1 až 2 K vyšší než je venkovní teplota. Zvýšení o 3 K, které doporučuje ČSN 06 0210 pro tyto případy, nebylo dosaženo vlivem netěsností radiační clony. Při oslunění stoupá teplota vzduchu v uzavřené vzduchové mezeře v zimním období

o 2 až 6 K proti teplotě venkovního vzduchu – zde by bylo možné při dobré regulaci ústředního vytápění výrazně utlumit provoz a dosáhnout energetických úspor.

V přechodném období v dubnu se při oslunění vzduch v uzavřené mezeře ohřívá až o 10 K během dne. Bylo by možné vytápění zcela přerušit, i když průměrná teplota venkovního vzduchu je 10 °C – viz tab. I, která přináší po hodinách teploty sledovaných bodů ze dne 10. 4. 1981. Takových dnů následovalo deset.

Při otevření vzduchové mezery se v jarních dnech projeví radiační clona rovněž velmi příznivě jak ukazuje charakteristický průběh teplot ze dne 19. 4. 1981, viz tab. II. V tento den byla délka slunečního svitu 5,7 h, tj. 41,3 % astronomického možného maxima.

V teplých jarních dnech je i při otevřené vzduchové mezeře zaznamenáno zvýšení teploty vzduchu v mezeře o 6 až 10 K proti venkovní teplotě v době oslunění. Vzhledem k malému úhlu dopadu slunečního paprsku dochází k přehřívání místnosti okny – účinnost stínících prstenců je malá. Neprůsvitné stěny však nejsou vystaveny extrémním teplotám.

V typických letních dnech, např. 28. 6. 1981, viz tab. III, v noci, teploty po celé výšce vzduchové mezery odpovídají teplotě venkovního vzduchu. V době oslunění radiačního pláště dochází ke zvýšení teploty vzduchu v mezeře o 4 až 8,5 K. Dopoledne stoupá rychleji teplota u horního vyústění mezery, a to o 2 až 3 K nad teplotu u dolního ústí. V odpoledních hodinách je vzduch v mezeře ohříván vychládající kovovou clonou a pronikáním ohřátého vzduchu ze vzduchové mezery západně orientovaného radiačního pláště. Vzduch v mezeře je odpoledne po celé její výšce o 3 až 8 K teplejší než venkovní vzduch.

Ačkoli teploty venkovního vzduchu dosahují hodnot 22 °C, teplota vzduchu v jižně orientované místnosti tuto teplotu nepřekročí. Při větším úhlu dopadu slunečních paprsků je tedy protisluneční ochrana stínících prstenců účinná i v případech, kdy teplota vzduchu v otevřené mezeře stoupne asi o 15 K vzhledem k teplotě venkovního vzduchu, nedochází k přehřátí vzduchu místnosti nad 25,5 °C.

Dne 28. 6. byla doba slunečního svitu 12,0 h, což je 80 % astronomického možného maxima.

Velmi zajímavý je vliv radiační clony v chladných letních dnech 18. až 21. 7. 1981 při zatažené obloze. Teplota venkovního vzduchu plynule klesá z 15 °C dne 18. 7. na teplotu 8 °C dne 19. 7. a dne 20. 7. se udržuje téměř konstantní 9 °C, dne 21. 7. opět pozvolna stoupá. Byl sledován nepatrný rozdíl mezi teplotou na vnitřním povrchu obvodové konstrukce a teplotou vnitřního vzduchu, která je pouze o 0,5 až 1 K vyšší než teplota povrchu. Průběhy těchto teplot jsou lineární, při poklesu venkovní teploty o 5 K za 24 hodin klesne teplota uvnitř místnosti za stejnou dobu o 0,5 K. Teplota vzduchu ve vzduchové mezeře je stejná po celém jejím průřezu a většinou odpovídá teplotě venkovního vzduchu. Maximální rozdíl mezi teplotou venkovního vzduchu a teplotou ve vzduchové mezeře je 1 K. Vyrovnájí se také teploty vnitřního vzduchu v severně a jižně orientovaných místnostech. Teplota vzduchu ve sledovaných místnostech nepoklesla v chladných letních dnech pod hranici 18 °C. U budov s lehkým obvodovým pláštěm bez radiační clony poklesnou teploty vzduchu obvykle podstatně více.

Rychlosť proudění vzduchu ve vzduchové mezeře

Rychlosť proudění vzduchu v otevřené mezeře se pohybuje v rozmezí 0 až 3 ms⁻¹. Nejnižší hodnot dosahuje při bezvětrí nebo při směru větru přibližně kolmém na horní hranu sledované jižní stěny (jižní vítr) a nejvyšších při směru přibližně rovnověžném s vnější stěnou (západní vítr).

Při uzavřené mezeře je rychlosť proudění neměřitelná a na pohyb vzduchu lze usuzovat pouze z rozdělení teplot – viz např. tab. I.

Zjištění poměrné propustnosti ochranných prstenců okolo oken zasklených čirým sklem pro sluneční záření

Pro jižní orientaci bylo v období červenec-srpen odečteno 51 hodnot, pro západní 46 hodnot poměrné propustnosti ze záznamů registračních přístrojů.

Pro jižní orientaci vychází s 95 % pravděpodobností při použití Studentova rozdělení četnosti

$$T = 0,223 \cdot 2,01 + 0,071 = 0,366$$

a pro západní

$$T = 0,407 \cdot 2,015 + 0,126 = 0,660$$

Při porovnání naměřených poměrných propustností s hodnotami udávanými v ČSN 73 0542 [2] odpovídá

Tab. I. – 10.4

čas/tep- loty (h)	1	2	3	4
<i>t_{iJ}</i>	22,5	22	22	22
<i>t_{iS}</i>	22	22	22,5	22
<i>t_{iPJ}</i>	19	19	19	18,5
<i>t_e</i>	4	3	2	2
<i>t_{vm,h}</i>	6	5	4	4
<i>t_{vm,d}</i>	6	5	4	4

Tab. II. – 19.4.

čas/tep- loty (h)	1	2	3
<i>t_{iJ}</i>	18	19	18,5
<i>t_{iS}</i>	17	17	17
<i>t_{iPJ}</i>	15	15	15
<i>t_e</i>	—2,5	—2	—1
<i>t_{vm,h}</i>	—1,5	—2	—1
<i>t_{vm,d}</i>	3	3	3

Tab. III. – 28.6.

čas/tep- loty (h)	1	2	3
<i>t_{iJ}</i>	19	19	19
<i>t_{iS}</i>	19	19	19
<i>t_{iPJ}</i>	19	19	19
<i>t_e</i>	14	12	11
<i>t_{vm,h}</i>	13	12	11
<i>t_{vm,d}</i>	13	12	11

Tab. I. - 10.4

čas/tep- loty (h)	1	2	3	4	5	6	7	8	9	10	11	12	13	14	15	16	17	18	19	20	21	22	23	24	
t_{iJ}	22,5	22	22	22	23,5	24	24	24	24	24,5	25	25	25,5	25,5	26	25,5	25	25	24	23,5	23,5	23	23	22,5	
t_{iS}	22	22	22,5	22	22	22	22	22,5	24	24,5	25	25	25,5	25,5	26	25,5	25	25	24	23,5	23,5	23	23	22,5	
t_{ipJ}	19	19	19	18,5	18,5	18,5	19	19,5	20	21,5	24	24	24	24	24	24	24	24	24	23,5	23	23	22,5	22,5	
t_e	4	3	2	2	2	3	5	8	12	14	15	16	17	17	17	16	16	16	15	12	11	9	8	7	6
$t_{vm,h}$	6	5	4	4	4	5	7	11	16	20	23	24	26	25	25	22	21	21	16	14	13	11	10	9	8
$t_{vm,d}$	6	5	4	4	4	4	5	8	13	17	22	26	27	28	26	22	21	18	15	13	11	10	9	8	

Tab. II. - 19.4.

čas/tep- loty (h)	1	2	3	4	5	6	7	8	9	10	11	12	13	14	15	16	17	18	19	20	21	22	23	24	
t_{iJ}	18	19	18,5	18,5	19	19	19	19	20	20	20	20	21	21	21	20,5	20	20	19,5	19	19	19	19	19	
t_{iS}	17	17	17	17	17	17	17	17	17,5	17	17	19,5	19,5	20	20	20	20	20	19,5	19	19	19	19	19	
t_{ipJ}	15	15	15	15	15	15	15	15	15,5	17	17	17	17,5	18	18	18	18	18	18	18	18	17,5	17	17	17
t_e	-2,5	-2	-1	-1	0	1	2,5	5	7	7	8	8	9	9	8	7	6	5	2,5	2	1,5	1	0	-1	
$t_{vm,h}$	-1,5	-2	-1	-1	0	1	2	4	12	9	13	11	12	11	9	9	8	6	6	6	5	4	4	4	
$t_{vm,d}$	3	3	3	3	3	4	5	7	8	9	13	9	9	10	9	9	8	6	4	3	2,5	2	2	0	

Tab. III. - 28.6.

čas/tep- loty (h)	1	2	3	4	5	6	7	8	9	10	11	12	13	14	15	16	17	18	19	20	21	22	23	24
t_{iJ}	19	19	19	19	19	19	19	19	19	19	20	21	21	22	22	22	22	22	22	21,5	21	21	20	20
t_{iS}	19	19	19	19	19	19	19	19	19	19	19	20	20	20	20	20	20	20	21	21	21	20	20	20
t_{ipJ}	19	19	19	19	19	19	19	19	19	19	19	20	21	21	22	22	22	22	22	21,5	21	21	20	20
t_e	14	12	11	11	10,5	11	12	15	16	18	19	20	21	21,5	22	22	21	21	21	20,5	20	19	18	17
$t_{vm,h}$	13	12	11	10	10	10	12	15	18	22	25	27	27	30	30	27	26	26	24	22	20	19	18	17
$t_{vm,d}$	13	12	11	10	10	10	12	14	16	19	22	25	27	30	30	28	26	26	24	22	20	19	18	17

stínící schopnost ochranných prsteneců $T = 0,37$ zastínění okna s dvojitým zasklením, kde mezi okny je umístěna lamelová žaluzie. Kombinací ochranných prstenců s lamelovými žaluziemi, umístěnými mezi skly, je možné poměrnou propustnost okna snížit až na hodnotu $T = 0,16$. Tímto způsobem je možné odstranit nežádoucí přehřívání místnosti v měsíci květnu, aniž by bylo v jižně orientovaných místnostech nutné zřizovat nucené větrání. Poměrná propustnost pro západní orientaci $T = 0,66$ přibližně odpovídá poměrné propustnosti skel determinálních a reflexních. Ochranný prstenec má však proti uvedeným sklům přednost, nebrání v zimním a přechodném období pronikání slunečního záření do místnosti a ponechávání jeho schopnost fungovat jako pasivní solární kolektor, ohřívající vzduch v místnosti. Kombinací ochranného prstence a meziokenními žaluziemi je možné snížit propustnost západně orientovaného okna na hodnotu $T = 0,3$. V tomto případě by však bylo třeba užít pro snížení tepelné zátěže u západně orientovaných místností sledované budovy ještě nuceného větrání.

Výsledky výpočtového rozboru Letní období

Na rozdíl od experimentálního ověřování byla uvažována ochrana oken v plném rozsahu, tedy nejen ochrannými prstenci, ale i žaluziemi v oknech. Pro otevřenou vzdutovou mezitu při nulové rychlosti proudění vychází:

	$\Delta t_{i, stř}$	$2A_i$	$\Delta t_{i, max}$ bez větrání	požadovaná výměna vzduchu $n(h^{-1})$
pro jižní orientaci:	0,21	0,4	8,61	2,2
pro západní orientaci:	10,67	1,6	12,27	5,2

Z výsledků je patrné, že s přijatou výměnou vzduchu je možné zajistit vyhovující tepelnou stabilitu podle [1]. Větrání je možné provádět přetlakově přímo do vzdutové mezery, nebo samoběžně při zajištění přívodu chladného vzduchu do místnosti a odvodu do vzdutové mezery.

Zimní období

Pro přerušované vytápění je dosaženo požadované tepelné stability i při venkovních teplotách -15°C

[1] – lze tedy přerušovat vytápění dokonce na 16 hodin.

Závěry

Podle provedených měření a výpočtů lze konstatovat, že radiační pláště s ochrannými prstenci okolo oken má tyto výhody (podrobněji také [7]):

– V létě je vzdutová mezera přirozenou gravitací účinně odvětrávána, a tak se podstatně sníží tepelné zatížení lehkého obvodového pláště, u kterého díky jeho malé tepelné jímagosti normálně dochází k poměrně rychlému prohřátí konstrukce vlivem slunečního záření.

– Jižně orientovaná okna jsou stínícími prstenci dostatečně chráněna před pronikáním slunečních paprsků v letních měsících. V přechodném období naopak umožňují pronikání tepelné energie do místnosti a fungují jako pasivní solární kolektory. Zvolený způsob stínění je tedy vhodnější než protisluneční ochrana pomocí reflexních či absorbčních skel.

– Dobře uzavřená vzdutová mezera vytvoří po obvodu objektu vzdutovou vrstvu, jejíž teplota v chladném období je o 1 až 2 K

Analýza a látek v

V posledních deseti letech se stály o energické a s limitujícím faktorem a jejich životního staření. Velikost zásob přináší odhaduje na 90% vyčerpání, při současném letí.

Pokusy o efektivní dosud tak úspěšné, jenž lasti jaderné energetiky magmatu, energie at.

V této situaci vznikají hledat prostředky pro dostatek. Reálné možnosti výměny klasických zdrojů at.

Je zřejmé, že tam už látkových potřeb možnosti efektivní energie a látek.

Nevýrobní sféra bytový fond, přestavby posloužit jako charakteristická jednotlivých náročnost rozložení.

Téměř úplně ještě kryta z klasických vůbec nevyužívají v této oblasti technologie nebo energie at.

Současně jsou velmi využití všech forem do organismu bytu.

Základní formulace

Chápeme-li dynamiku bytu v jeho celém spektru vlivů, nelze opomenout je energetickou a látkou zajišťující prvkem se požadavky optimální prostředí a příslušné Tomuto požadavku spotřeby energie a forem užití vnitřním nových forem a energie v organismu.

Současně nemůžeme ignorovat, které jednání.

Tab. I

Specifika činnosti

Vytápění
Příprava teplé vody
Osvětlení a el. spotřeba
Chlazení (chladn.)
Větrání
Vaření
Celkem

vysší než teplota venkovního vzduchu. Po dobu slunečního svitu tepla této vrstvy ještě vzrostle.

– Při oslnění radiačního pláště se snižují teplotní gradienty povrchů, čímž se sniží maximální tepelné ztráty.

Dále má radiační pláště všechny přednosti obvodových konstrukcí s otevřenou vzduchovou mezerou:

- zamezuje pronikání vlhkosti (atmosférické i kondenzované) do konstrukce s tepelnou izolací,

- vylučuje extrémní teplotní zátěž vnějšího povrchu lehkého obvodového pláště v letním období,

- snižuje nebezpečí mechanického poškození samotné tepelně izolační stěny,

- umožňuje překlenout bez přitápení chladné dny v letním období,

- snižuje infiltraci venkovního vzduchu spárami mezi díly neprůsvitné obvodové konstrukce,

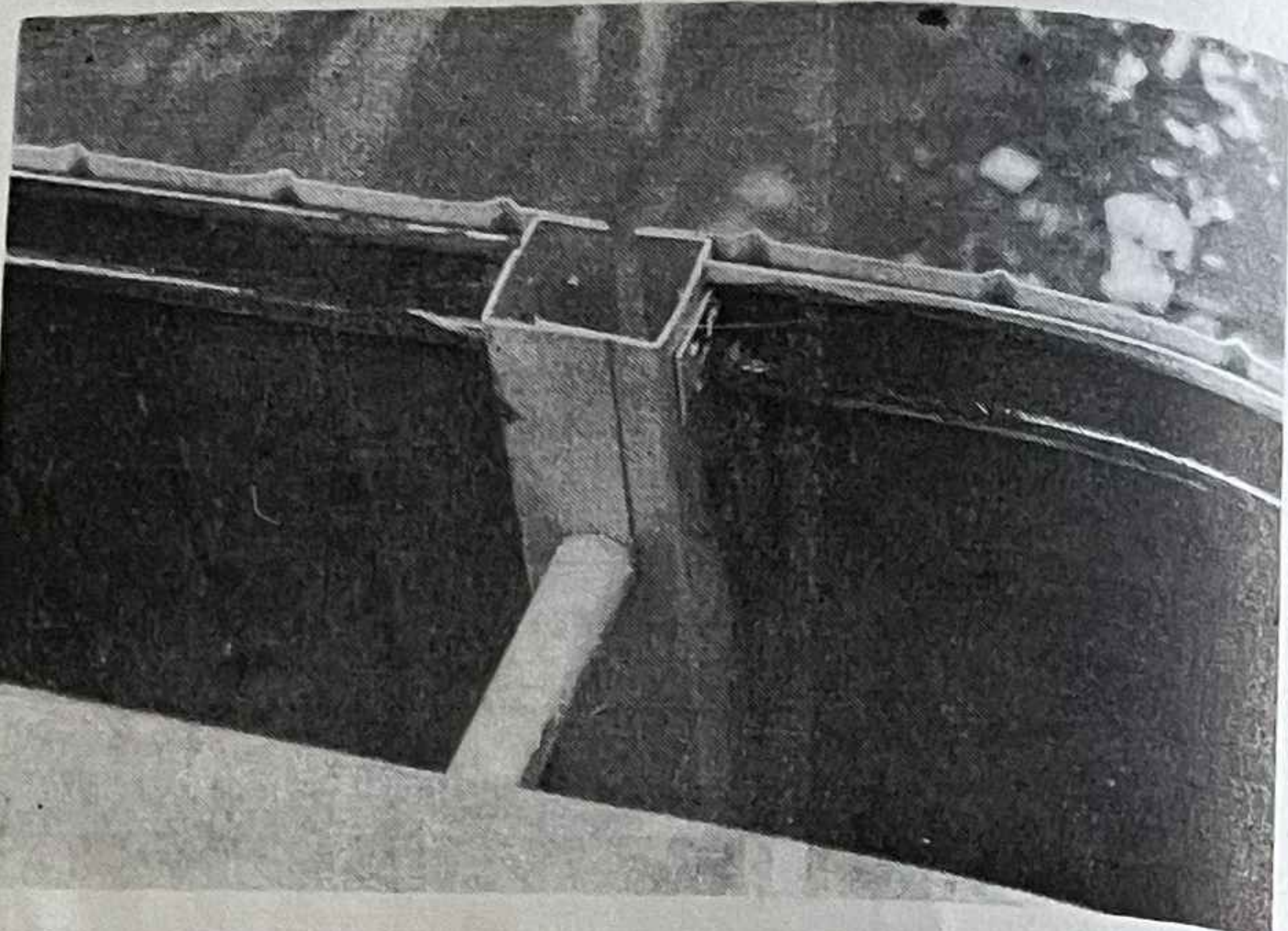
- umožňuje dodatečné zesilování tepelné izolace této budovy při rekonstrukcích souvisejících se zlepšováním tepelného odporu obvodových pláštů.

Při návrhu radiačního pláště sledované budovy byla soustředěna pozornost především na negativní působení slunečního záření v letním období a byla opomenuta schopnost takto řešené obvodové konstrukce využívat pasivním způsobem dopadající sluneční energie a působit tak na celkovou energetickou bilanci objektu. Tato výhoda radiačního pláště je důležitá především v jarním a podzimním období, kdy v noci je vzduch chladný a přes den se vlivem slunečního záření značně ohřívá, viz výsledky měření z 10. 4. V zimním období – lednu, únoru – může teplota vzduchu v mezeře stoupnout po dobu přibližně tří hodin o 3 až 6 °C.

Vzduchu ohřátého ve vzduchové mezeře radiačního pláště je možné v návaznosti na vzduchotechniku vhodně využít, např. pro předehřívání větracího vzduchu nebo jako teplonosného média, které předává teplo zásobníku. Tím může být přímo některá hmotná konstrukce, např. železobetonový strop, stěna nebo základová deska. Vzduch proudí dutinami této konstrukce, předává při tom své teplo, to je konstrukcí akumulováno a s několika-hodinovým zpožděním pak vyzařováno do místnosti. Tento způsob využití však vyžaduje termostaticky řízenou vzduchotechnickou soustavu.

Kromě nesporných předností radiačního pláště byly na sledovaném

Obr. 5. Připevnění radiační clony, opatřené černým pohltivým nátěrem na vnitřním povrchu



objektu však zaznamenány i některé nedostatky, jejichž odstranění nebo alespoň částečné zlepšení se tato práce pokusí naznačit:

– Má-li vzduchová mezera zesilovat tepelnou izolaci obvodové konstrukce, musí být těsně uzavřena. Její vliv na zlepšení tepelného odporu se jinak sníží až o 90 % očekávané hodnoty.

Na sledovaném objektu ATU není zatím proveden ani horní uzávěr vzduchové mezery, nutný pro zimní období, ani boční uzávěr a mřížky, určené pro ochranu mezery před vnikáním ptactva a hmyzu.

Kromě těchto zásadních nedostatků v provedení pláště byly zjištěny netěsnosti i mezi jednotlivými díly radiačního pláště a ve styčích svislých stěn ochranného prstence a panelů lehkého obvodového pláště u oken.

– Aby bylo umožněno samotné odvětrávání vzduchové mezery v letním období, je naopak třeba ponechat u dolního vyústění vzduchové mezery volný přístup vzduchu. Na některých místech byla radiační clona zalita u terénu asfaltem chodníku, a tím byla její funkce zhoršena.

– Jak ukazují výpočty teplotního útlumu s užitím naměřených hodnot t_e a t_{ip} (tab. I až III) a jejich porovnání s teoretickým výpočtem, radiační pláště neodstranil běžný nedostatek lehkých obvodových pláštů, kterým jsou tepelné mosty. Kromě mostů způsobených nedostatečně izolovanou rámovou konstrukcí obvodových panelů je z tepelně technického hlediska problematické i připevnění kovových paždíků, nesoucích radiační clonu.

– Lehké obvodové pláště mají zanedbatelnou schopnost akumulační. Je tedy nutné doplnit málo hmotnou obvodovou konstrukci dostatečně hmotnými konstrukcemi vnitřními, aby bylo zabráněno rychlému vyhladění objektu.

– Z výsledků i výpočtu je patrné, že užití stínících prstenců není optimální pro západně a východně orientované fasády; v těchto případech pro dosažení tepelné pohody je třeba zajistit mnohonásobnou výměnu vzduchu, i v případě, že budou ochranné prstence doplněny meziokenními žaluziemi. Pro tyto dvě orientace lépe vyhovuje radiační pláště kombinovaný s jinak řešenou protisluneční ochranou (horizontální lamely pevné nebo mechanicky regulovatelné, popř. posuvné rošty).

– Zkušební aplikace pláště s radiační clonou neprokázala výhody, které jsou z teoretického rozboru nesporné, ale nemohly být vzhledem k objektivním těžkostem při realizaci objektu experimentálně ověřeny. Jde o kvalitativně zcela nový přístup k navrhování lehkých obvodových pláštů budov, který po odstranění výše uvedených závad může významně přispět v současném úsilí ke snižování energetické náročnosti budov.

LITERATURA

- [1] ČSN 73 0540 – Tepelně technické vlastnosti stavebních konstrukcí a budov. Názvosloví, požadavky a kritéria
- [2] ČSN 73 0542 – Tepelně technické vlastnosti stavebních konstrukcí a budov. Vlastnosti materiálů a konstrukcí a vlastnosti s nimi související
- [3] ČSN 73 0548 – Výpočet tepelné zátěže klimatizovaných prostorů
- [4] ČSN 73 0549 – Tepelně technické vlastnosti stavebních konstrukcí a budov. Výpočtové metody
- [5] ČSN 06 0210 – Výpočet tepelných ztrát budov při ústředním vytápění, 1976
- [6] Herink, M.: Program LETO – Hodnocení místnosti z hlediska letního období, VÚPS 1979
- [7] Morávek, P.: Integrované systémy obvodových stěnových konstrukcí vícepodlažních budov, jejich výpočet a energetická bilance. Zdravotní technika, 1981, čís. 6
- [8] Bloudek, K. a kol.: Studie ke zlepšení tepelného stavu prostředí v budově A stavební fakulty ČVUT, 1979